

## บทที่ 2

### ทฤษฎีและความรู้พื้นฐาน

#### 2.1 ความตั้มดอต

ขนาดมีผลต่อสมบัติของสารกึ่งตัวนำ โดยทั่วไปสมบัติต่างๆของสารกึ่งตัวนำ เช่น สมบัติการนำไฟฟ้า สมบัติการนำความร้อน สามารถอธิบายได้โดยใช้อิเล็กตรอนเป็นหลัก อิเล็กตรอนในที่นี่จะพิจารณาเป็นอนุภาคขนาดเล็กที่มีประจุลบ แต่เมื่อสารมีขนาดเล็กลงมาก อิเล็กตรอนซึ่งเป็นอนุภาคพื้นฐานของทุกอะตอมจะประพฤติตัวคล้ายคลื่นตามกลศาสตร์ควอนตัม ทำให้สมบัติของสารกึ่งตัวนำเปลี่ยนแปลงไปเดิม สารทุกชนิดสามารถประพฤติตัวเป็นคลื่นได้เมื่อมีขนาดที่เหมาะสมตามหลักที่ภาพของอนุภาค-คลื่น (wave-particle duality) ของหลุยส์ เดอ บราอยล์ (Louis de Broglie) โดยยังมีขนาดใหญ่เท่าใดโอกาสที่จะแสดงคุณสมบัติแบบคลื่นก็มีน้อยลง เนื่องจากความยาวคลื่นของเดอบราอยล์จะอยู่ในระดับนาโนเมตร อิเล็กตรอนจึงแสดงพฤติกรรมคล้ายคลื่นได้โดยเฉพาะในโครงสร้างนาโน เช่น บ่อความตั้ม เส้นความตั้ม และความตั้มดอต เป็นต้น อิเล็กตรอนในโครงสร้างขนาดเล็กจะเกิดความตั้มคงในฟีน์เมนต์ (Quantum confinement) คือ ความมีอิสระในการเคลื่อนที่ของอิเล็กตรอนจะถูกจำกัด อิเล็กตรอนจะถูกบังคับให้อยู่สถานะพลังงานบางสถานะ (state) เท่านั้น ผลที่ตามมาคือระดับขั้นพลังงานของอิเล็กตรอนจะไม่ต่อเนื่อง (discrete energy level) สามารถอธิบายได้ตามหลักกลศาสตร์ควอนตัม เช่น ในกรณีของอนุภาคในกล่อง ลักษณะของความหนาแน่นของสถานะ (Density of State) หรือ DOS ของโครงสร้างต่างๆในฟังก์ชันของพลังงานแสดงดังรูป 2.1 ความแตกต่างของ DOS ในแต่ละโครงสร้างขึ้นอยู่กับระดับการถูกจำกัดของอิเล็กตรอน ในโครงสร้างที่มีขนาดใหญ่ (bulk) อิเล็กตรอนมีอิสระในการเคลื่อนที่มาก DOS ปรากฏในลักษณะที่ต่อเนื่อง ในขณะที่ DOS ของโครงสร้างนาโนจะปรากฏในลักษณะที่ไม่ต่อเนื่อง เนื่องจากอิเล็กตรอนถูกจำกัดอิสระในการเคลื่อนที่ในแต่ละมิติโดยถูกจำกัด 1 มิติในบ่อความตั้มหรือพิล์มนควอนตัม ถูกจำกัด 2 มิติในลวดความตั้ม และถูกจำกัดทั้ง 3 มิติในความตั้มดอต ซึ่งเป็นการถูกจำกัดโดยสมบูรณ์คล้ายกับอิเล็กตรอนในอะตอม ความตั้มดอตในบางครั้งจึงถูกเรียกว่าอะตอมเทียน และเป็นในโครงสร้างที่ได้รับความสนใจมากในปัจจุบัน

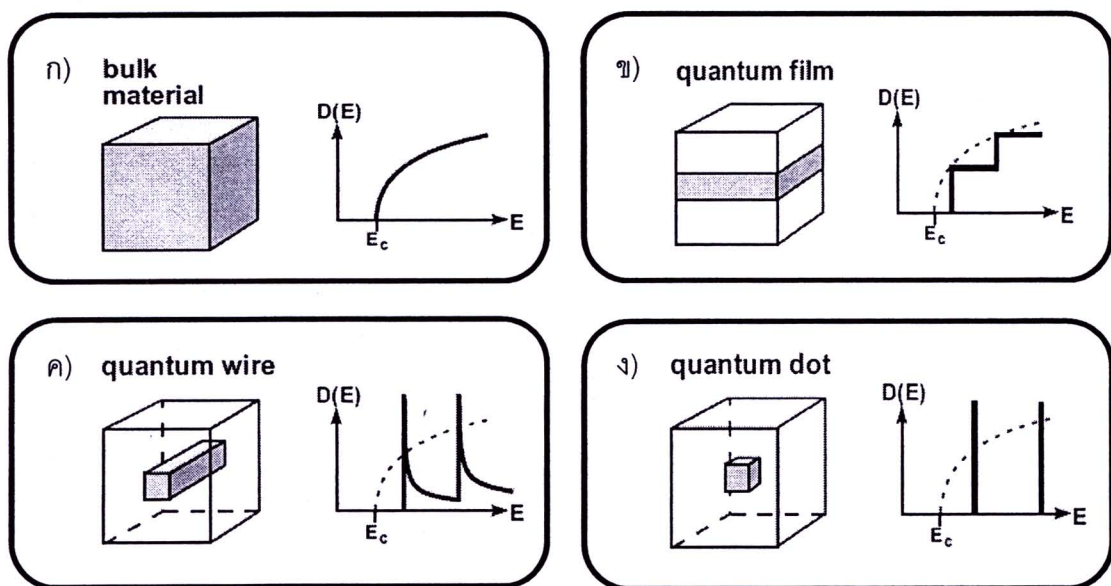
ความตั้มดอตเป็นโครงสร้างขนาดนาโนเมตรทุกมิติประกอบขึ้นจากอะตอมของสาร มีคุณสมบัติเฉพาะตัวทั้งด้านการเปล่งแสงและการนำไฟฟ้า ตามลักษณะของ DOS และระดับพลังงานของอิเล็กตรอนในโครงสร้าง DOS ของความตั้มดอตในกรณีอย่างง่ายที่สุดโดยคิดความตั้มดอตเป็นกล่องทรงสี่เหลี่ยมขนาดเล็ก ทำให้สามารถเขียนสมการ Schrödinger และใช้เงื่อนไขขอบเขตของรูปทรงร่วมกับการแก้สมการอนุพันธ์กำลังสอง ถูกแสดงได้ในสมการ 2.1 [37]

$$D_{QD}(E) = 2 \sum_{l,m,n} \delta \left\{ E - \frac{\hbar^2 \pi^2}{2m^*} \left[ \left( \frac{n_x}{L_x} \right)^2 + \left( \frac{n_y}{L_y} \right)^2 + \left( \frac{n_z}{L_z} \right)^2 \right] \right\} \quad 2.1$$

โดย  $m^*$  คือมวลประสิทธิผลของอิเล็กตรอนใน conduction band,  $L_x$ ,  $L_y$  และ  $L_z$  คือขนาดของ ความตั้มดอตในแนวแกน  $x$ ,  $y$  และ  $z$  ตามลำดับ,  $n_x$ ,  $n_y$  และ  $n_z$  คือเลขความตั้มหลัก (Principal quantum number) และ  $E$  คือ ระดับพลังงานของอิเล็กตรอนดังสมการที่ 2.2

$$E = \frac{\hbar^2 \pi^2}{2m^*} \left[ \left( \frac{n_x}{L_x} \right)^2 + \left( \frac{n_y}{L_y} \right)^2 + \left( \frac{n_z}{L_z} \right)^2 \right] \quad 2.2$$

ค่า  $D(E)$  ของความตั้มดอตในรูปที่ 2.1 d) จะแตกต่างจากโครงสร้างอื่นในรูป 2.1 ก) – ค) คือ มีลักษณะเป็นดิแรกเดลตาฟังก์ชัน (Dirac delta function) คือไม่มีตัวกรวย (dispersion curve) ที่บ่งบอกการมีอยู่ของสถานะในระดับพลังงานอื่น ใกล้เดียง ลักษณะดังกล่าวแสดงให้เห็นถึงความไม่มีอิสระในการเคลื่อนที่ของอิเล็กตรอนทั้งสามมิติ นอกจากนี้ยังมีความตั้มดอตในรูปทรงอื่นๆ เช่นรูปทรงกลม รูปพีรามิต



รูปที่ 2.1 โครงสร้างและ DOS ของ ก) ก้อนผลึก ข) บ่อกวนตั้ม ค) ลวดกวนตั้ม และ ง) กวนตั้มดอต [38]

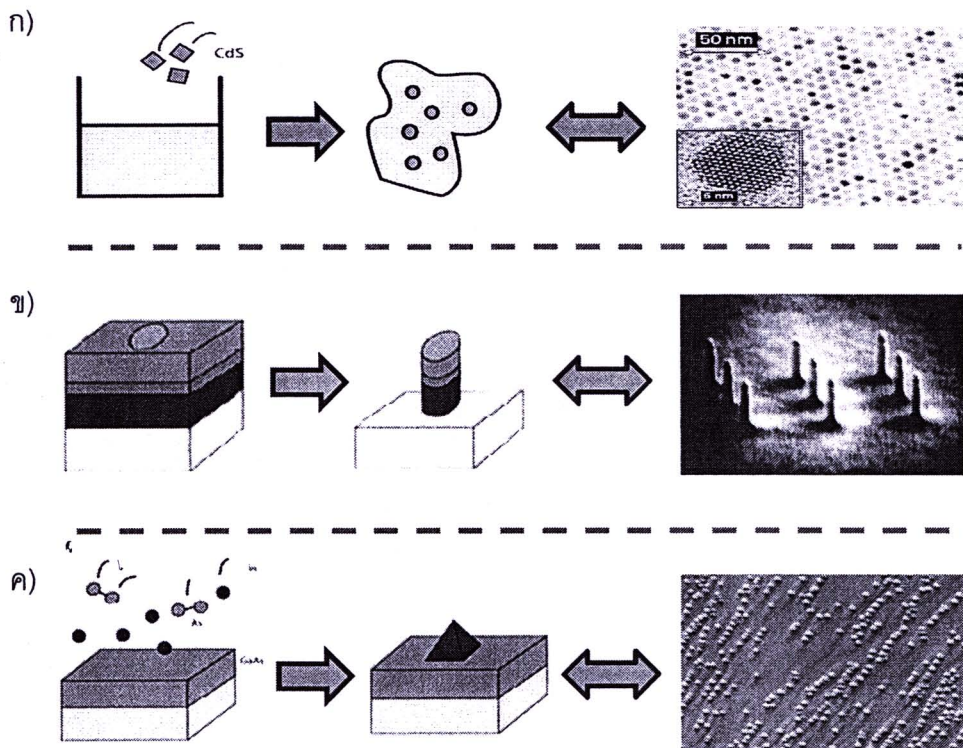
(pyramid) หรือรูปทรงเลนส์ (lens) การคำนวณจะมีความซับซ้อนมากขึ้นและมีเงื่อนไขขอบเขตที่แตกต่างกันออกไป

ระดับพลังงานที่ไม่ต่อเนื่องรวมถึงการมีอยู่อย่างชัดเจนของอิเล็กตรอนในบางระดับพลังงานของความตั้งตอด การกระตุ้นโดยศักย์ไฟฟ้าหรือแสงเพียงเล็กน้อยก็ทำให้เกิดการนำไฟฟ้าหรือการเปล่งแสงขึ้น โดยแสงที่ได้เป็นแสงที่มีความเข้มสูง ความตั้งตอดจึงมีค่าความไวไฟฟ้าและการเปล่งแสงที่ดีคุณสมบัติที่สำคัญอีกประการของความตั้งตอดคือการปรับเปลี่ยนค่าซ่องว่างแบบพลังงาน (band gap) โดยทั่วไปการนำไฟฟ้าจะเกิดขึ้นเมื่ออิเล็กตรอนจากว่าเลนซ์แบบเดียวโดยขึ้นไปยังชั้นว่างเปล่าที่เรียกว่าแบบตัวนำ (conduction band) ซึ่งทำให้เกิดโคล (hole) ในแบบเวลนซ์ (valence band) และอิเล็กตรอนเพิ่มขึ้นในชั้นแบบตัวนำ ระยะห่างระหว่างคุณอิเล็กตรอนและหลุมที่เกิดขึ้นเรียกว่า "รัศมีเอกซิตอนบอร์" (exciton bohr radius) ค่านี้เป็นตัวกำหนดสมบัติการนำไฟฟ้ารวมถึงสมบัติการเปล่งแสง ซึ่งค่านี้เองก็ขึ้นอยู่กับขนาดและสัดส่วนของสารในความตั้งตอด

จากคุณสมบัติที่กล่าวมาความตั้งตอดจึงสามารถนำไปใช้งานทางด้านอิเล็กทรอนิกส์อย่างหลากหลาย เช่น ตัวตรวจจับกระแสที่มีความไวสูง ทำแหล่งกำเนิดแสงเดเชอร์ หรือใช้ในการพัฒนาประสิทธิภาพของเซลล์สุริยะ เป็นต้น ซึ่งมีใช้งานอยู่จริงในปัจจุบัน

## 2.2 การปัลอกความตั้งตอด

การสร้างหรือปัลอกความตั้งตอดทำได้ในหลายวิธี เช่น การสังเคราะห์โดยปฏิกิริยาทางเคมี เช่น การเกิดผลึกขนาดเล็กของ CdSe บนแก้วดั้งรูปที่ 2.2 ก), การสร้างความตั้งตอด จากแม่พิมพ์เที่ยมโดยกระบวนการลิโซกราฟีของโครงสร้างพิล์มนบางแล้วทำการกัดออก เช่น ความตั้งตอดแนวตั้งจาก AlGaAs/InGaAs/AlGaAs double barrier heterostructure (รูปที่ 2.2 ข)) และการเกิดขึ้นเองของความตั้งตอดในกระบวนการเกิดแบบประกอบด้วยตัวเอง (self-assembled) ในรูปที่ 2.3 ค) โดยแต่ละวิธีที่กล่าวมานี้ข้อดีและข้อเสียที่แตกต่างกัน สำหรับการศึกษาในวิทยานิพนธ์ฉบับนี้จะใช้วิธีการเกิดขึ้นเองของความตั้งตอดแบบประกอบตนเองแบบ Stranski-Krastanow (SK) เป็นหลัก



รูปที่ 2.2 วิธีการปลูกค่อนตั้มดอตในหลายวิธี ก) การสร้างผลึกขนาดเล็ก (microcrystallities) บนแก้ว ข) การใช้แบบพิมพ์เทียน ค) การเกิดค่อนตั้มดอตแบบประกอบตนเอง [39, 40, 41]

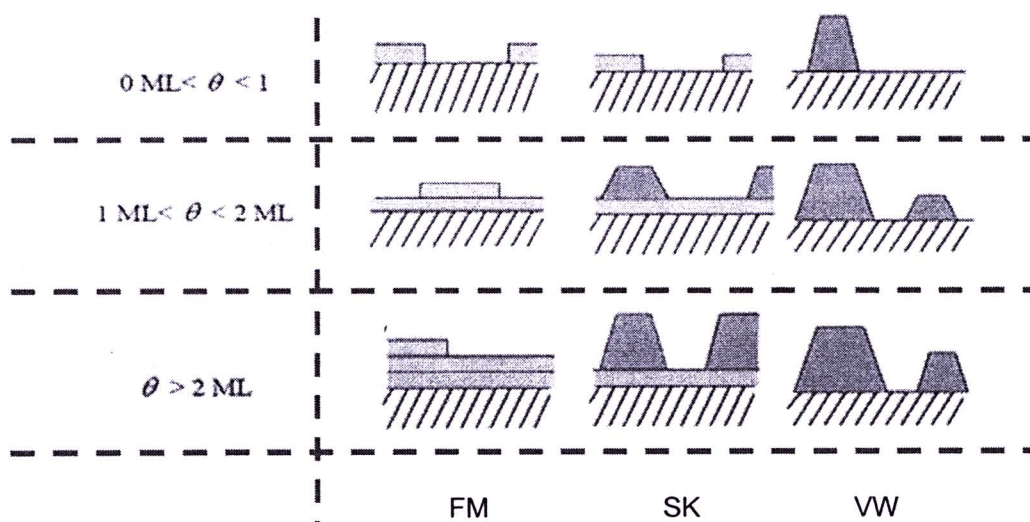
### 2.2.1 การปลูกค่อนตั้มดอต โดยวิธี Stranski-Krastanow

การปลูกชั้นของสารชนิดหนึ่งลงบนสารอีกชนิดหนึ่งโดยวิธีเอพิแทกซ์ (epitaxy) หรือ เยเทอโว เอพิแทกซ์ (heteroepitaxy) ความแตกต่างของค่าคงที่โครงผลึก (lattice constant) เป็นปัจจัยสำคัญที่ต้องคำนึงดังแสดงในรูปที่ 2.3 การปลูกชั้นของสารที่มีค่าคงที่โครงผลึกต่างกัน (น้อยกว่าหรือเท่ากับ 2 %) การปลูกชั้นของสารจะเป็นแบบ 2 มิติโดยตลอด กล่าวคือ ผลึกจะก่อตัวแบบชั้นต่อชั้น (layer to layer) หรือการปลูกแบบ Frank-van der Merwe (FM) บนชั้นของสารอีกชนิดหนึ่ง สำหรับสารที่มีค่าคงที่โครงผลึกต่างกัน (มากกว่า 10%) ชั้นของสารที่เกิดขึ้นจะเป็นในลักษณะ 3 มิติ หรือเกาะ (island) ตั้งแต่เริ่มแรกของการปลูก การปลูกชนิดนี้เรียกว่าการปลูกแบบ Volmer-Weber (VM) ในกรณีที่สามารถกำหนดความแตกต่างให้พอดีไม่มากหรือน้อยเกินไป ( $5\% < \epsilon < 10\%$ ) การปลูกจะปรากฏในรูปแบบผสม คือ เริ่มแรกจะเป็นแบบ 2 มิติและพัฒนาต่อไปเป็นแบบ 3 มิติ เรียกว่า การปลูกแบบ Stranski-Krastanow (SK)

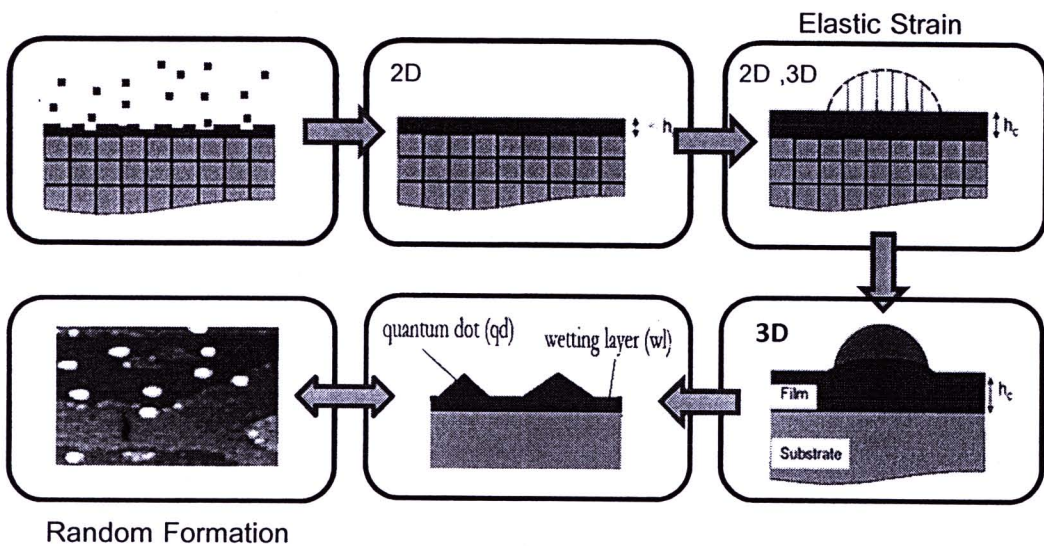
กลไกของการเกิดค่อนตั้มดอตในแบบ SK ดังแสดงในรูป 2.4 เริ่มต้นจากการปลูกสารชนิดหนึ่งลงบนสารอีกชนิดหนึ่ง ในที่นี้คือการปลูก InAs บน GaAs เนื่องจากเป็นโครงสร้างที่ให้ความสนิใจในการ

เกิดความตั้งต้นของ ค่าคงที่ผลึกของ InAs และ GaAs จะแตกต่างกันประมาณ 7 % ในขั้นแรกๆของการปัลกจะเป็นการปัลกแบบ 2 มิติ สารที่ทำการปัลกคือ InAs จะถูกบังคับให้การก่อตัวเป็นไปในแนวเดียวกับ GaAs ผลที่ได้คือเกิดความเครียดขึ้นในชั้นสาร InAs ซึ่งในที่นี้คือความเครียดแบบอัด (compressive strain) เมื่อความหนาของชั้นสารเพิ่มขึ้นเรื่อยๆความเครียดก็จะเพิ่มขึ้นและสะสมในรูปแบบของพลังงานความเครียดยืดหยุ่น (elastic strain energy) จนถึงความหนาค่าหนึ่งซึ่งเรียกว่า ค่าความหนาวิกฤติ (critical thickness) ค่าความเครียดจะเริ่มถึงจุดอิ่มตัวและเกิดการผ่อนคลายขึ้นเมื่อความหนาเพิ่มขึ้นอีกในลักษณะของการก่อตัวของเกาะเล็ก ๆ ซึ่งคือ ความตั้งต้นของแบบประกอบตนเอง (Self-Assembled Quantum Dot)

ความตั้งต้นของแบบประกอบตนเองสามารถสร้างได้โดยการอาศัยเครื่อง MBE หรือเครื่อง Metal Organic Chemical Vapor Deposition (MOCVD) พร้อมกันนี้ยังสามารถเลือกใช้ระบบของสารที่จะเกิดไห้หลายรูปแบบ ไม่ว่าจะเป็น III-V, II-VI และ IV-IV ในส่วนของคุณสมบัติของดอททางด้านขนาด, รูปร่าง, ส่วนประกอบและความหนาแน่นสามารถกำหนดได้อย่างยืดหยุ่นโดยอาศัยเงื่อนไขการปัลก เช่น อุณหภูมิชั้บสเตรต, อัตราส่วนฟลักซ์ของสารหมู่ III และสารหมู่ V, ความหนาชั้นสารที่ปักคลุม (monolayer coverage) [42] รวมถึงอัตราการปัลกในการปัลก InAs ความตั้งต้นของ และ InGaAs ความตั้งต้น [43] ล้วนมีผลต่องrade และความหนาแน่นของความตั้งต้นทั้งสิ้น โดยสามารถอธิบาย ปรากฏการณ์ดังกล่าวได้โดยอาศัยปฏิกิริยาการแลกเปลี่ยนของผิวน้ำและกระบวนการแพร่ซึม (diffusion) นอกจากนี้การกลบพับ(capping) [44] รวมถึงการปัลกเกินปกติ (overgrowth) [45] ก็ส่งผลต่อคุณสมบัติของความตั้งต้นเช่นกัน



รูปที่ 2.3 โนมดที่เป็นไปได้ของการปัลกผลึกในการปัลกแบบเอดิแทกซ์ [41]



สูปที่ 2.4 แสดงขั้นตอนการเกิดความตั้มดอตแบบ SK ในการปัลกแบบເອີແທກສື່ ໂດຍ  
ความตั้ມດອຕມີການເກີດແບບສຸນ (random) [13]

### 2.3 การกำหนดตำแหน่งของความตั้มดอต

ຂ້ອຈາກດັບທີ່ສໍາຄັນຂອງความตั้ມດອຕແບບປະກອບຕົວເອງຄື່ອງ ການເກີດຂຶ້ນມາຍ່າງໄຟເປັນຮະບັບ  
ກາປະປຸກດີໃຫ້ໃນງານນຳຍ່າງ ເຊັ່ນ Single electron transistor [46], Quantum cellular automata  
[47] ຈຳເປັນຕິດໃຫ້ພວກເຮົາຕົວທີ່ເຮັດວຽກຢ່າງເປັນຮະບັບ ດັວນຕ້ອງການໃຫ້ພວກເຮົາຕົວທີ່ເກີດ  
ປະສິທິກາພສູງສຸດຈຶ່ງນຳໄປສູ່ຄວາມພຍາຍານໃນການຄວບຄຸມຕຳແໜ່ງພວກເຮົາຕົວທີ່ເກີດ

ວິທີກາຈັດເຮັດວຽກຄຸມຕຳແໜ່ງການເກີດຂອງພວກເຮົາຕົວທີ່ເກີດແບບປະກອບຕົວເອງເປັນ 2 ປະເທດຫຼັກ ຄື່ອງ

1. ການໃຫ້ແມ່ພິມບັນດັບໃຫ້ເຮັດ (Force alignment template)
2. ການເຮັດດ້ວຍຕົນເອງດ້ວຍແມ່ພິມພົວກາຮົມຄວາມເຄີຍດ (Self-alignment strain-engineering pattern)

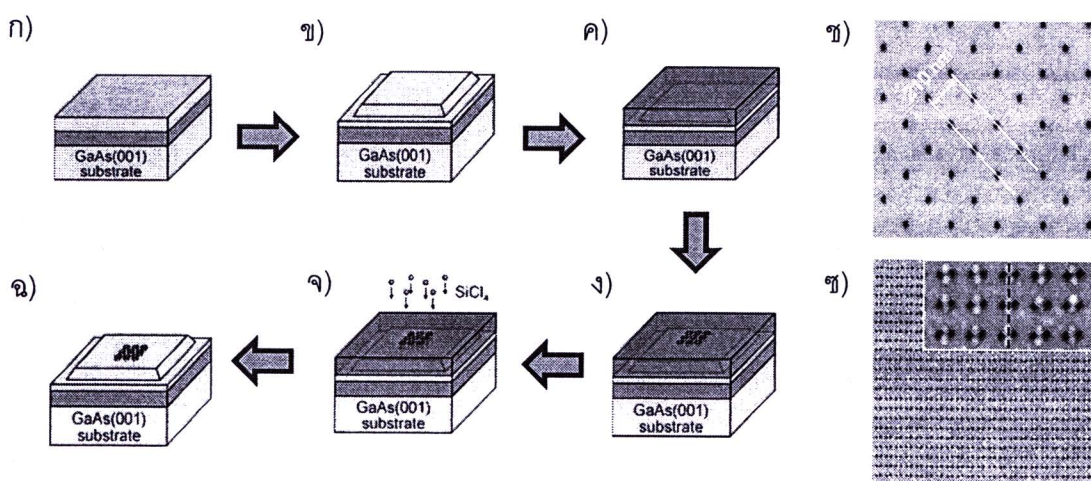
#### 2.3.1 ການໃຫ້ແມ່ພິມບັນດັບໃຫ້ເຮັດ (Force alignment template)

ການໃຫ້ແມ່ພິມທີ່ເກີດຈາກການບັນດັບໃຫ້ເກີດ ຕື່ການທີ່ກ່າວກຳມາດລາຍໃໝ່ໄດ້ຕາມທີ່ຕົວກຳມາດລາຍ  
ກ່ອນຈະທຳການປຸລູກພວກເຮົາຕົວທີ່ເກີດ ວິທີດັ່ງກ່າວໄດ້ແກ່

##### 2.3.1.1 ຂັບສເຕຣຕີທີ່ມີລວດລາຍເບື້ອງຕັນ (Pre-patterned substrate)

ການທຳຂັບສເຕຣຕີທີ່ມີລວດລາຍກ່ອນເປັນກະບວນການທຳລວດລາຍ (pattern) ບັນຂັບສເຕຣຕີກ່ອນທີ່ຈະ  
ທຳການປຸລູກພວກເຮົາຕົວທີ່ເກີດເພື່ອໃຫ້ລວດລາຍດັ່ງກ່າວໃນການກຳນົດຕຳແໜ່ງການເກີດຂອງພວກເຮົາຕົວທີ່ເກີດ  
ຂັ້ນຕອນທີ່ໄປສາມາດຄອອິນບາຍໄດ້ຕັ້ງນີ້ ເຮັ່ນຕັນຈາກການເຄື່ອບນ້ຳຍາໂພໂຕຣີສີ (photoresist) ໄວດ້ານບັນຂອງ

ขั้นงาน จากนั้นจึงอาศัยการทำลิโกราฟีด้วยลำแสงต่างๆ เช่น ลำอิเล็กตรอน (electron beam) [48] หรือ ลำไอออน (ion-beam) [49] ถ่ายทอดและสร้าง漉ดลายขึ้นบนชิ้นงาน เมื่อผ่านกระบวนการลิโกราฟี (lithography) คุณสมบัติของโฟโตรีสิสในตำแหน่งที่ถูกแสงและไม่ถูกแสงจะมีคุณสมบัติต่างกัน เช่นในโฟโตรีสิสนิดลบ (negative) ตำแหน่งที่ถูกแสงจะมีการแข็งตัวขึ้นเมื่อเทียบกับตำแหน่งที่ไม่ถูกแสง ซึ่งตรงข้ามกับโฟโตรีสิสนิดบวก (positive) จากนั้นจึงกัดออกด้วยยาเคมีบางชนิดซึ่งจะกัดโฟโตรีสิสออกในบางตำแหน่งคือตำแหน่งของสารที่ไม่แข็งตัวเท่านั้น ทำให้ได้漉ดลายที่เรียงตัวอย่างเป็นระเบียบบนชิ้นแผ่นฐาน ดังแสดงในรูป 2.5 ขั้นตอนสุดท้ายจึงทำการปลูกความตั้มดอตลงไปบนชิ้นงานอีกทีหนึ่ง ความตั้มดอตจะเริ่มก่อตัวอย่างไม่เท่ากันบนชิ้นงาน โดยจะก่อตัวในบริเวณที่ทำ漉ดลายไว้ก่อนบริเวณอื่น ทำให้ได้ความตั้มดอตเรียงตัวตามที่ต้องการ วิธีการนี้มีข้อจำกัดในเรื่องความละเอียด ความแม่นยำ ในกระบวนการลิโกราฟีรวมถึงความสามารถในการถ่ายโอนแม่พิมพ์ เนื่องจากกระบวนการมีความขับข้อนจึงอาจก่อให้เกิด defect ขึ้นระหว่างขั้นตอนการทำ

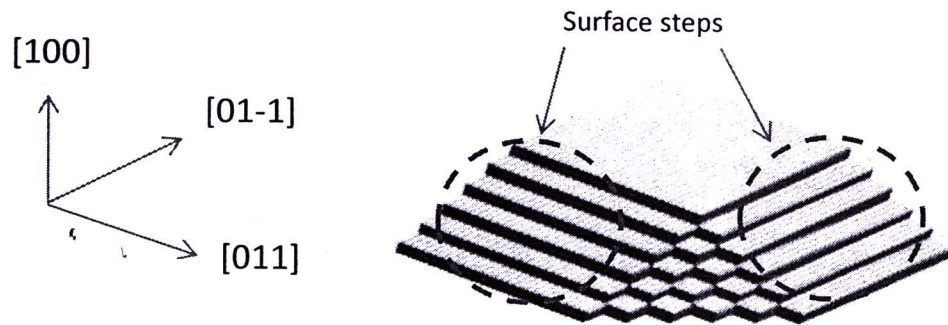


รูปที่ 2.5 ตัวอย่างขั้นตอนการทำ pre-pattern substrate ด้วยลำอิเล็กตรอนเพื่อทำแม่พิมพ์สำหรับเรียงความตั้มดอต โดยเริ่มต้นจากรูป ก) ปลูก AlGaAs ลงบน GaAs (001) ขั้นสุดท้าย ข) ใช้ลิโกราฟีและกัดออกเพื่อให้ได้ผิวเรียบและโครงสร้างที่ต้องการ ค) เคลือบผิวด้วยสาร PMMA ซึ่งเป็นโฟโตรีสิชนิดนึง ง) ทำ漉ดลายบนผิวน้ำด้วยลิโกราฟีแบบลำอิเล็กตรอน จ) กัดออกด้วยสารกัด (etchant)  $\text{SiCl}_4$  ฉ) โครงสร้างที่สมบูรณ์พร้อม漉ดลายสำหรับปลูกความตั้มดอต ข) ภาพ AFM 漉ดลายที่ได้จากการเตรียมในขั้นตอน ก-ฉ และ ข) ภาพแสดงการเรียงตัวของความตั้มดอตที่เกิดขึ้นบนแม่พิมพ์ [48]

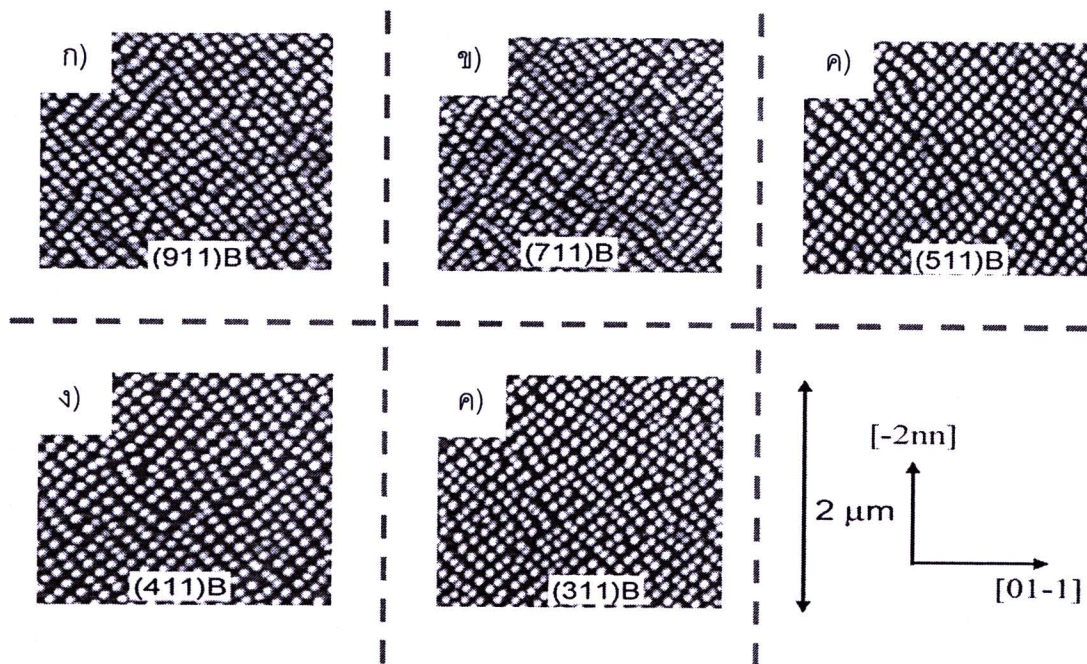
### 2.3.1.2 ขั้นสุดท้ายนี้สูง (High index substrate)

สำหรับอีกวิธีการหนึ่งที่ใช้ในการจัดเรียงความตั้มดอตคือการใช้ขั้นสุดท้ายนี้สูง (High index substrate) ( $n11$ ) เช่น ขั้นสุดท้าย GaAs (311) B, GaAs (411) B, GaAs (511) B เป็นต้น ขั้นสุดท้าย

เหล่านี้เป็นขั้นสุดยอด ชนิดพิเศษซึ่งมีทิศทางการตัดแผ่นพลีก (wafer) ที่แตกต่างจากแบบทั่วไป ดังแสดงในรูปที่ 2.6 ซึ่งจากรายงานของ Wang และคณะ [50] พบว่าความตื้นดอตที่เกิดจากการปลูกบนแผ่นขั้นสุดยอดเหล่านี้มีการเรียงตัวที่เป็นระเบียบมากยิ่งขึ้น โดยแตกต่างกันตามทิศทางการตัดขั้นสุดยอด ดังแสดงรูปที่ 2.7 ถึงแม้ว่านี้จะให้ความตื้นดอตที่มีคุณภาพดีรวมถึงผลการเรียงตัวเป็นที่น่าพอใจ แต่เป็นวิธีที่ไม่เป็นที่นิยมมากนักเนื่องจากปัญหาในเรื่องราคาของชิ้นแผ่นฐานพิเศษที่ค่อนข้างสูง



รูปที่ 2.6 ภาพตัวอย่างลักษณะของชิ้นงานที่เกิดจากการ miscut ทำให้เกิด surface step ขึ้น [50]



รูปที่ 2.7 ภาพ AFM ของความตื้นดอตซึ่งปลูกบน GaAs (n11) ได้แก่ ก) GaAs (911) B, ข) GaAs (711) B, ค) GaAs (511) B, ง) GaAs (411) B และ จะ) GaAs (311) B [50]

### 2.3.2 การจัดเรียงต้นของด้วยลดลายวิศวกรรมความเครียด (Self-alignment strain engineering pattern)

การเรียงตัวของความตั้มดอตที่กล้ามมาทั้งหมดในชั้งต้นเป็นวิธีที่อาศัยขั้นตอนเพิ่มเติมจากภายนอก การเรียงตัวของความตั้มดอตสามารถทำได้ภายใต้ภายนอก การปรับแต่งรูปแบบความตั้มดอต การกำหนดและออกแบบความเครียดที่เหมาะสมจึงเป็นไปได้ที่จะจัดเรียงความตั้มดอตให้เป็นไปในรูปแบบที่ต้องการ ด้วยเหตุนี้จึงเป็นที่มาของคำว่าวิศวกรรมความเครียด(strain engineering) ซึ่งคือการออกแบบและจัดการกำหนดความเครียดอย่างเหมาะสมเพื่อให้ความตั้มดอตเกิดขึ้นในบริเวณต้องการ

วิศวกรรมความเครียดสามารถทำได้โดยอาศัยความเครียดที่เกิดขึ้นบนผิวน้ำ เช่นเดียวกับการเกิดความตั้มดอต โดยอาศัยความไม่เข้ากันของโครงผลึกในระบบ III-V หรือ II-VI รวมถึงการกลบทับโครงสร้างบางอย่าง เช่น ความตั้มดอต หรือ รอย ทำให้เกิดความเครียดสะสมอยู่เฉพาะในบางบริเวณเท่านั้นโดยกระบวนการทั้งหมดจะทำรวมอยู่ในขั้นตอนการปลูก จากหลักการที่ว่าความตั้มดอตเลือกก่อตัวในบริเวณที่มีความเครียดสะสมอยู่ก่อนบริเวณอื่น จึงสามารถนำหลักการดังกล่าวมาใช้ในการกำหนดการก่อตัวของความตั้มดอตได้ การเรียงตัวของความตั้มดอตที่เกิดจากแม่พิมพ์วิศวกรรมความเครียด ได้แก่ ความตั้มดอตแบบสายโซ่ยาวโดยการใช้ความเครียดที่เกิดจากซุปเปอร์แล็ตทิส (superlattice), ความตั้มดอตแบบลายตาราง (cross-hatch) ซึ่งเกิดจาก misfit dislocation ในโครงสร้าง InGaAs/GaAs หรือ InGaP/GaP เป็นต้น โดยในวิทยานิพนธ์ฉบับนี้จะใช้โครงสร้าง InGaAs/GaAs เป็นแม่พิมพ์วิศวกรรมความเครียด (strain engineered template) ชนิดหนึ่งเป็นหลักในการศึกษา

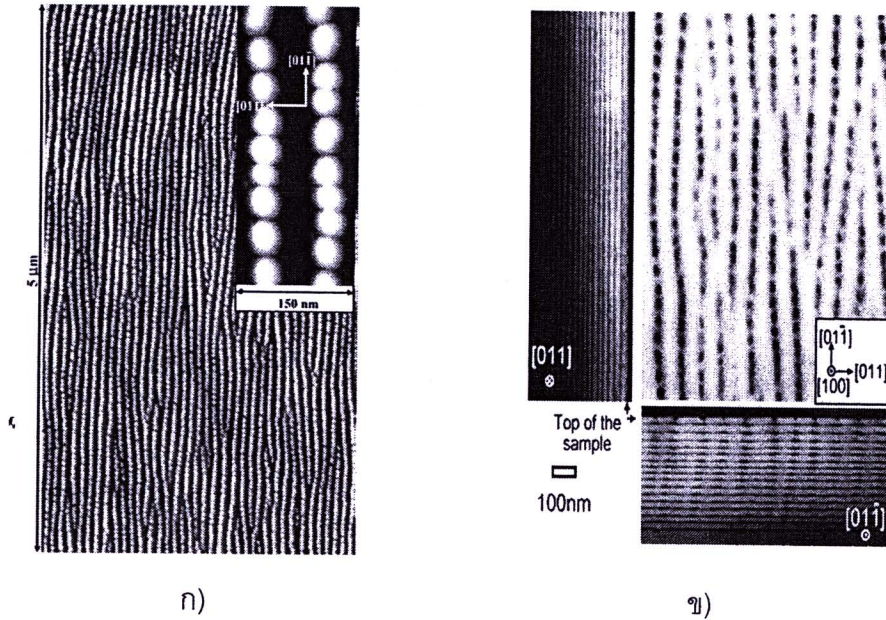
#### 2.3.2.1 แม่พิมพ์ซุปเปอร์แล็ตทิส (Superlattice templates)

การเรียงตัวความตั้มดอตแบบแนวเดียวเป็นโซ่ยาวถูกทำขึ้นโดยกลุ่มของ Wang [51] เป็นการเรียงตัวโดยใช้วิศวกรรมความเครียดรูปแบบหนึ่ง กระทำโดยการปลูกความตั้มดอต In(Ga)As แล้วกลบด้วยชั้น GaAs บางๆ ทำเช่นนี้สลับกันหลายๆ ครั้งเป็นวัสดุจักร ซึ่งเรียกว่า ซุปเปอร์แล็ตทิส ความตั้มดอตในชั้นล่างๆ จะเนี่ยนนำให้เกิดตำแหน่งของความตั้มดอตในชั้นถัดไปจนถึงจำนวนวัสดุจากการปลูกที่เหมาะสม การก่อตัวความตั้มดอตในการปลูกครั้งต่อไปจะเริ่มเรียงตัวเป็นแนวโซ่ยาวในทิศทางเดียวยอย่างชัดเจนดังแสดงในรูปที่ 2.8 การเรียงตัวแบบโซ่ยาวมีปัจจัยที่ต้องควบคุมหลายประการ เช่น ปริมาณ InGaAs ในการปลูกความตั้มดอต, ผลของการ growth interrupt time และความหนาของชั้น GaAs ที่คั่น



สำนักงานคณะกรรมการวิจัยแห่งชาติ
ห้องสมุดงานวิจัย
วันที่ 22 ส.ค. 2555
เลขทะเบียน.....
เลขเรียกหนังสือ.....

การปูลูกด้วยวิธีนี้จึงมีความซับซ้อนและกระทำได้ยากเพื่อให้เกิดความตั้งตัวแบบสายโซ่ยาวที่เรียงตัวอย่างสวยงาม



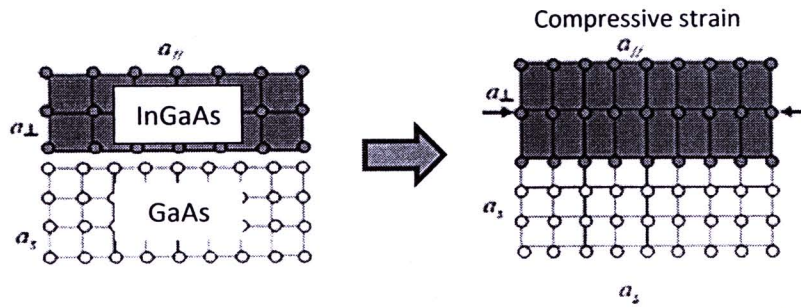
รูปที่ 2.8 ภาพ AFM ของชิ้นงาน ก) 17 ชั้นของ  $\text{In}_{0.5}\text{Ga}_{0.5}\text{As}$  ในการเกิดความตั้งตัวแบบโซ่ยาว รวมถึง ข) ภาพตัดขวาง TEM ของชิ้นงานในแต่ละด้าน [51]

### 2.3.2.2 ลวดลายตาราง (Cross-hatch patterns): $\text{InGaAs}/\text{GaAs}$

ลวดลายตารางที่เกิดขึ้นบนผิวน้ำเป็นลวดลายที่เกิดขึ้นเองในระบบการปูลูกแบบไฮเทกซีเอพิแทกซี ซึ่งพบได้ในหลายระบบ เช่น  $\text{InGaAs}/\text{GaAs}$  [31,52],  $\text{GaAsP}/\text{GaAs}$  [53],  $\text{GaAs}/\text{Si}$  [53] และ  $\text{SiGe}/\text{Si}$  [53], เป็นต้น ลวดลายที่เกิดขึ้นบนผิวน้ำเป็นผลจากรูปแบบการผ่อนคลายความเครียดที่สะสมอยู่เนื่องจากค่าคงตัวผลึกที่ไม่เท่ากัน ซึ่งสามารถนำลวดลายตารางที่เกิดขึ้นมาใช้ในการจัดเรียงตัวความตั้งตัว ระบบที่ให้ความสนใจในที่นี้คือระบบ  $\text{InGaAs}/\text{GaAs}$

#### 2.3.2.2.1 ลักษณะโดยทั่วไป

ในระบบการปูลูก  $\text{InGaAs}/\text{GaAs}$  ใช้  $\text{GaAs}$  เป็นชั้นฐานและชั้น  $\text{InGaAs}$  เป็นตัวก่อความเครียด (stressor) ชั้นฐาน  $\text{GaAs}$  นิยมใช้กันมากขึ้นแทนซิลิโคนเนื่องจากมีสมบัติบางประการที่เหนือกว่า เช่น การเปล่งแสงและความคล่องตัวทางไฟฟ้า [52] ส่วนชั้น  $\text{InGaAs}$  เป็นขั้ลลอดต์ที่เกิดจากการผสมสาร 3 ชนิด คือ  $\text{In}$ ,  $\text{Ga}$  และ  $\text{As}$  คุณสมบัติโดยทั่วไปจะค้างเกี่ยวกะระหว่าง  $\text{InAs}$  และ  $\text{GaAs}$  กล่าวคือขึ้นอยู่กับสัดส่วนของสาร  $\text{In}$  และ  $\text{Ga}$  ที่มีประกอบ ประโยชน์ที่สำคัญของการปูลูก  $\text{InGaAs}$  บน  $\text{GaAs}$  คือความง่ายในการปูลูกและคุณสมบัติที่ปรับเปลี่ยนได้



รูปที่ 2.9 แผนภาพแสดงการเกิดความเครียดแบบอัดเมื่อปูลูกชั้น InGaAs บนชั้น GaAs

การปูลูก InGaAs บน GaAs มีความสะดวก ไม่ต้องคำนึงถึงปัจจัยในการปูลูก เช่น ความเป็นขั้ว (polar on non-polar) หรือความแตกต่างของค่าสัมประสิทธิการขยายตัวเนื่องจากอุณหภูมิ (Thermal expansion coefficient) การปูลูกให้ได้ผลดีจึงทำได้ง่ายขึ้น ในเรื่องของคุณสมบัติ คุณสมบัติที่สำคัญ และปรับเปลี่ยนได้ของ InGaAs คือ ค่าคงตัวผลลัพธ์และค่าซึ่งว่างແນบพลังงาน

ค่าคงตัวผลลัพธ์เป็นค่าที่สำคัญต่อการเกิดลดลายตาราง ค่าดังกล่าวใน InGaAs ขึ้นอยู่กับค่าสัดส่วนสาร In และ Ga และมีค่าอยู่ระหว่างค่าของ InAs และ GaAs (ประมาณ  $6.0583 \text{ \AA}$  และ  $5.6533 \text{ \AA}$  สำหรับ InAs และ GaAs ที่  $300 \text{ K}$  ตามลำดับ) ตามสมการ [52]

$$a = 6.058 - 0.405(1 - x) \text{ (\AA)} \quad 2.3$$

เมื่อ  $x$  คือ ค่าสัดส่วนของ In ใน  $\text{In}_x\text{Ga}_{1-x}\text{As}$  ค่าแบบนี้จะสามารถปรับเปลี่ยนได้เช่นกัน และเป็นไปดังสมการ [52]

$$E_g = 0.36 + 0.505(1 - x) + 0.555(1 - x)^2 \text{ (eV)} \quad 2.4$$

ซึ่งมีค่าอยู่ระหว่าง  $0.354 \text{ eV}$  และ  $1.424 \text{ eV}$  ตามค่าซึ่งว่างແນบพลังงานของ InAs และ GaAs ตามลำดับ จากสมบัติดังกล่าวส่งผลให้สามารถออกแบบได้ทั้งช่วงการเปล่งแสงและค่าความเครียด ชั้น InGaAs จึงเป็นชั้นที่มีความยืดหยุ่นมากในการกำหนดความเครียดและซึ่งว่างແນบพลังงาน

### 2.3.2.2 กรณีการเกิดลดลายตาราง

การปูลูก InGaAs บนชั้น GaAs ทำให้เกิดความเครียดซึ่งเนื่องจากค่าคงตัวผลลัพธ์ที่ไม่เท่ากัน ในที่นี่ค่าคงตัวผลลัพธ์คือ  $5.714 \text{ \AA}$  ตามสัดส่วน In ที่ใช้คือ  $\text{In}_{0.15}\text{Ga}_{0.85}\text{As}$  ค่าความแตกต่างค่าคงตัวผลลัพธ์ที่เกิดขึ้นมีค่าประมาณ  $1.07 \%$  ซึ่งเป็นไปตามสมการ

$$\varepsilon = \frac{a_f - a_s}{a_s} \quad 2.5$$

$a_f, a_s$  คือค่าคงตัวของชั้นพิล์มและชั้บสเตรต ตามลำดับ ค่าความแตกต่างค่าคงตัวผลึกอาจเรียกอีกอย่างว่าความเครียดจากความไม่เข้ากัน (misfit strain) ( $\epsilon$ ) การปลูกของชั้นผลึกในตอนแรกที่ความหนาไม่มากนักเป็นแบบ 2 มิติแต่มีความเครียดสะสมอยู่ ความเครียดที่เกิดขึ้นเป็นความเครียดแบบอัดเนื่องจาก  $In_{0.15}Ga_{0.85}As$  มีค่าคงตัวผลึกที่ใหญ่กว่าชั้น GaAs ดังแสดงในรูปที่ 2.9 ค่าความเครียดที่เกิดขึ้นจะถูกสะสมมากขึ้นตามค่าความหนาที่เพิ่มขึ้นจนถึงค่าหนึ่ง คือ ค่าความหนาวิกฤติ ( $h_{c60}$ ) สามารถคำนวณได้โดยอาศัยสมการจากแบบจำลองของ Matthews – blakeslee [52] คือ

$$H_{c60} = \frac{D(1-\nu\cos^2\theta)(\ln\left(\frac{h_{c60}}{b}\right)+1)}{Yf} \quad (2.6)$$

$$D = \frac{G_{GaAs}G_{InGaAs}b}{\pi(G_{GaAs}+G_{InGaAs})(1-\nu)} \quad (2.7)$$

$$G = C_{44} - \frac{1}{3}(2C_{44} + C_{12} - C_{11}) \quad (2.8)$$

$$b = \frac{\sqrt{2}}{2}a_{InGaAs} \quad (2.9)$$

$$\nu = \frac{C_{12}}{C_{21}+C_{11}} \quad (2.10)$$

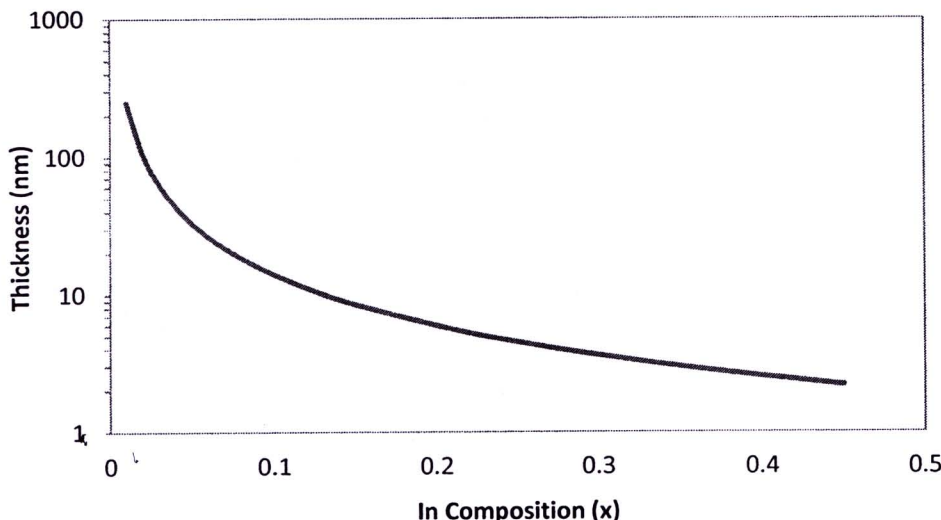
$$Y = C_{11} + C_{12} - 2\frac{C_{12}^2}{C_{11}} \quad (2.11)$$

$$f = \frac{a_{InGaAs}-a_{GaAs}}{a_{InGaAs}} \quad (2.12)$$

เมื่อ  $\theta = 60^\circ$ ,  $\nu$  คือ Poisson ratio,  $G$  คือค่า Anisotropic factor,  $C$  คือค่า Elastic constant และ  $Y$  คือค่า Young's modulus

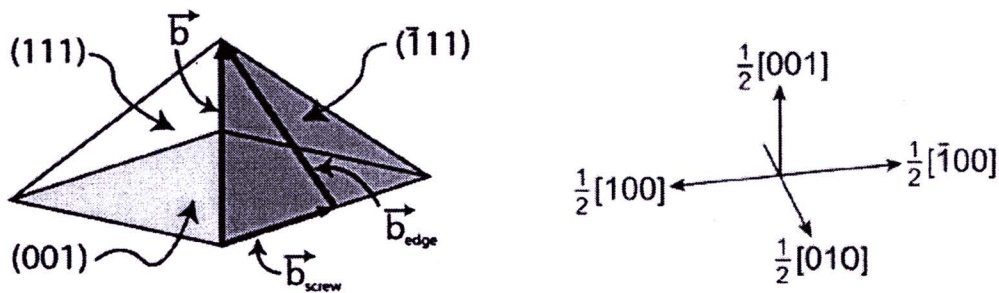
จากสมการที่ 2.6 โดยสมมติให้ค่าคงที่ยืดหยุ่น (elastic constant)(C) มีค่าคงที่โดยเปลี่ยนแปลงแบบเชิงเส้นตามค่าสัดส่วน In ใน  $In_{1-x}Ga_xAs$  ทำให้สามารถสร้างเป็นกราฟแสดงความสัมพันธ์ระหว่างค่าความหนาวิกฤติกับค่าสัดส่วนของ In(x) ใน  $In_{1-x}Ga_xAs$  ได้ดังแสดงในรูปที่ 2.10 ค่าความหนาวิกฤติที่คำนวณได้สำหรับ  $In_{0.15}Ga_{0.85}As$  จากสมการที่ 2.6 มีค่าประมาณ 10 nm ค่าความเครียดที่สะสมอยู่ในรูปของพลังงานความเครียดยืดหยุ่น (elastic strain energy) จะถึงจุดอิมตัว และเริ่มผ่อนคลายบางส่วนที่ความหนานี้ ก่อให้เกิดแนวของ dislocation ขึ้นซึ่งเป็นชนิดที่เราสนใจ เพราะก่อให้เกิดลายตารางบนผิวน้ำและควบคุมได้ การเพิ่มความหนาของชั้นที่เกินกว่าค่าความหนาวิกฤติ

มากเกินไป ระบบจะเกิดการคลายตัวอย่างสมบูรณ์ทำให้เกิด dislocation ใหม่ เป็นชนิดที่เกิดจากการเพิ่มทวีคูณ (multiplication dislocation) ซึ่งเป็น dislocation ที่ควบคุมได้ยาก



รูปที่ 2.10 กราฟแสดงความสัมพันธ์ระหว่างค่าความหนาบริเวณรอยต่อของ  $\text{In}_{1-x}\text{Ga}_x\text{As}$  ตามสมการที่ 2.6

แนวของ dislocation ที่เกิดขึ้นในตอนแรกคือ misfit dislocation จะเกิดขึ้นบริเวณรอยต่อของชั้นสารทั้งสอง misfit dislocation ในเริ่มแรกจะปรากฏในทิศทาง  $\pm [110]$  และทิศทาง  $\pm [-110]$  [53,54] ซึ่งเมื่อ dislocation ทั้งสองเคลื่อนที่ตัดกันอาจทำให้เกิดแนว dislocation ใหม่ขึ้น ซึ่งขึ้นอยู่กับชนิดของการรวมกันว่าจะเป็นการเพิ่มหรือลดพลังงานยืดหยุ่น (elastic energy) เมื่อความหนาของชั้น InGaAs เพิ่มขึ้นอีก misfit dislocation จะมีจำนวนและความหนาแน่นที่เพิ่มขึ้น สามารถแบ่งออกเป็น 2 ชนิดคือ  $60^\circ$  type misfit dislocation และ pure edge dislocation ทั้งสองชนิดแตกต่างกันตามลักษณะของการเคลื่อนที่และผลของการเลื่อนระนาบ กล่าวคือ  $60^\circ$  type dislocation จะเคลื่อนตัวในระนาบ  $\{111\}$  และส่งผลการเลื่อนระนาบในทิศทาง  $<110>$  ในขณะที่ edge dislocation จะเคลื่อนตัวในระนาบ  $\{100\}$  และส่งผลการเลื่อนของระนาบในทิศทาง  $<111>$  dislocation ทั้งสองชนิดจะเกิดขึ้นมากน้อยแตกต่างกันขึ้นอยู่กับ misfit strain ที่เกิดขึ้นในระบบ โดย  $60^\circ$  type misfit dislocation จะพบได้ในระบบที่มีค่า misfit strain ต่ำ ( $\leq 2\%$ ) [54,55] ในขณะที่ pure edge dislocation จะเกิดขึ้นชัดเจนในระบบการปลูกที่มีค่า misfit strain สูง ( $\geq 3\%$ ) [55] misfit dislocation เหล่านี้บางส่วนเท่านั้นที่จะพัฒนาต่อไปเป็น Threading dislocation [53] ซึ่งเคลื่อนที่ต่อไปในเนื้อของวัสดุ



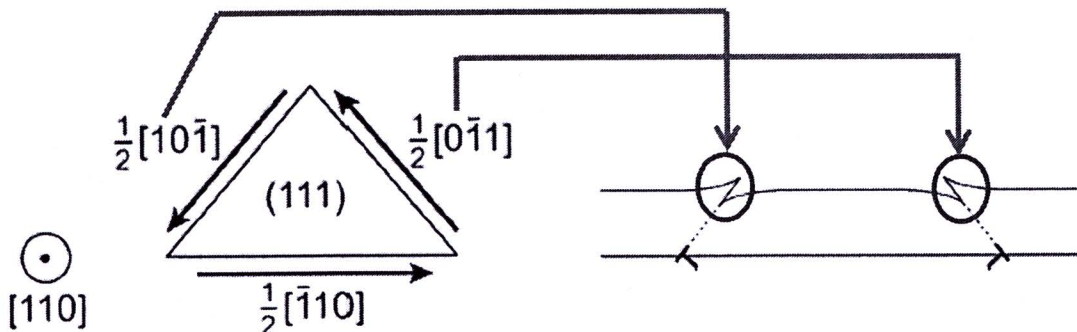
รูปที่ 2.11 แสดงระนาบการเคลื่อนที่ทั้งหมดของ  $60^\circ$  type dislocation บนระนาบ  $\{111\}$  พิริยมแแกนระบุทิศทาง โดย  $\vec{b}$  แสดงถึงเวกเตอร์หนึ่งของ dislocation ชนิดนี้ ซึ่ง  $\vec{b} = \frac{1}{2}[0-11]$  อยู่ในระนาบ  $(111)$  [57]

Misfit Dislocation ในระบบที่สันใจคือชนิด  $60^\circ$  type misfit dislocation ซึ่ง dislocation ชนิดนี้ เองที่ก่อให้เกิดลายตารางขึ้นบนผิวหน้า สามารถจำแนก dislocation ออกได้เป็น 2 ชนิด คือ  $\alpha$ -type และ  $\beta$ -type ซึ่งแตกต่างกันตามชนิดของแกนอะตอมที่เป็นจุดเริ่มต้นของการเคลื่อนที่ในโครงผลึกแบบ zinc blende โดย  $\alpha$ -type และ  $\beta$ -type มีอะตอมของ Ga และ As เป็นแกนอะตอมตามลำดับ [52]

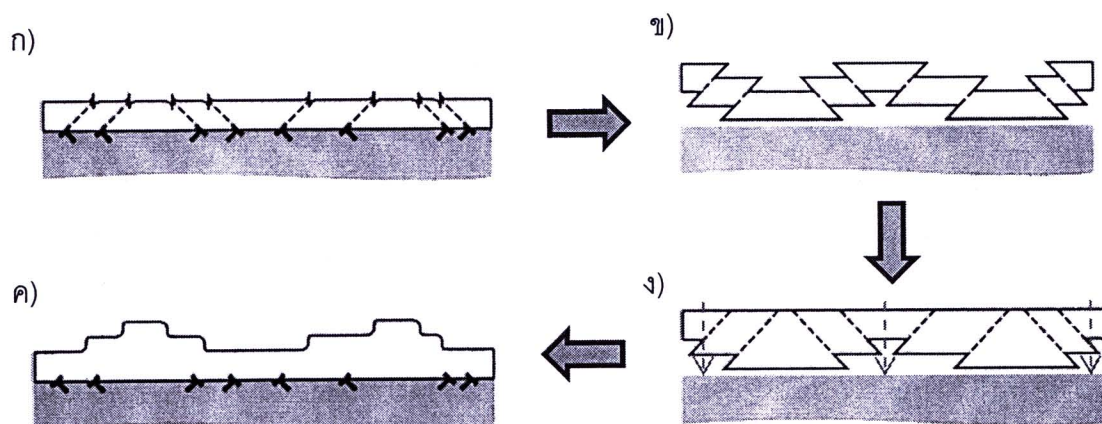
การเคลื่อนที่ของ  $60^\circ$  type dislocation จะปรากฏในทิศทาง  $<110>$  บนระนาบ  $\{111\}$  เป็นหลัก ดังแสดงในรูปที่ 2.11 ระนาบรวมถึงลักษณะการเคลื่อนของ dislocation ทำให้เกิดลักษณะผิวหน้าใน 2 รูปแบบ คือ up-step และ down-step ยกตัวอย่างเช่น การเลื่อนของ  $60^\circ$  type dislocation ที่มี burger vector ( $\vec{b}$ ) เท่ากับ  $\frac{1}{2}[10-1]$  ซึ่งเลื่อนขึ้นในระนาบ  $(1-11)$  ทำให้เกิดผิวหน้าแบบ down-step ในขณะที่ การเลื่อนในระนาบ  $(-111)$  ของ dislocation  $\vec{b} = \frac{1}{2}[0-11]$  ทำให้เกิดผิวหน้าแบบ down-step เป็นต้น เมื่อ dislocation ทั้ง 2 รูปแบบเคลื่อนที่ตัดกันจะเกิด surface step ขึ้นบนผิวหน้าดังแสดงในรูปที่ 2.12 ส่วน edge dislocation ไม่ก่อให้เกิดผิวหน้า เช่นนี้เนื่องจากมีระนาบการเคลื่อนที่คือ  $\{100\}$  surface step ที่เกิดขึ้นบนผิวหน้าเมื่อทำการปลูกเพิ่มเข้าไปอีกจะเกิดการ surface step elimination ซึ่งมีขั้นตอนดัง แสดงในรูป 2.13 คือ สารที่ทำการปลูกเพิ่มเข้าไปจะเลือกก่อตัวบริเวณขอบของ surface step ก่อน บริเวณอื่นอันเป็นผลจากการเคลื่อนที่ของมวลในแนววางและ step-flow growth [56] ในรูปที่ 2.13 (ข) และ (ค) หลังจากนั้นเมื่อขั้นของฟิล์มมีความหนามากพอ ขั้นของฟิล์มก็จะตกลงมาเกาะติดกับขั้นของ ขับสเตตอ ผลที่ได้คือเกิดผิวหน้าในลักษณะลูกคลื่นซึ่งมีความโค้งมนและเรียบมากขึ้น (รูปที่ 2.13 ง)) จน สังเกตเห็นเป็นลายตารางขึ้นในที่สุด

ลายตารางที่เกิดขึ้นบนผิวหน้าปรากฏให้เห็นยอดนิยมในสองทิศทาง คือในทิศทาง  $[1-10]$  และ  $[110]$  ลายตารางสามารถนำมาใช้เป็นแม่พิมพ์ในการเรียงตัวของคราบต้มดอตได้โดยตรง โดยเมื่อทำการปลูกคราบต้มลงบนผิวหน้าลายตาราง คราบต้มดอตจะเลือกก่อตัวบริเวณแนวยอดนิยมของลาย

ตารางก่อนบริเวณอื่น ทำให้เกิดการจัดเรียงตัวของความตั้มดอตขึ้นในสองทิศทางตามแนวของลายตารางนั้นเอง



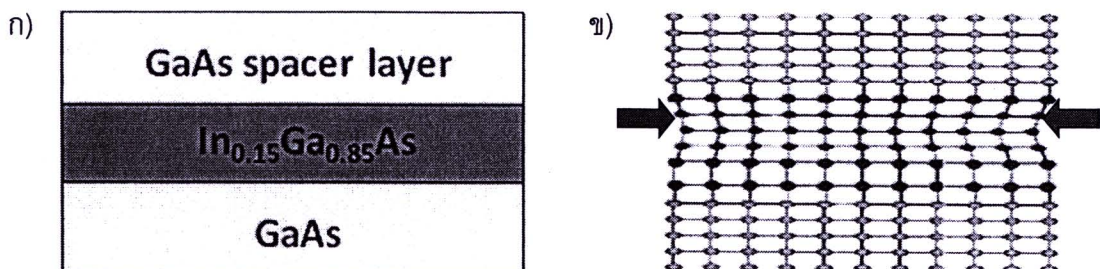
รูปที่ 2.12 ลักษณะแรกของการเคลื่อนที่ของ dislocation ที่ทำให้เกิด up step และ down step โดยเมื่อไปรเจค เกกเตอร์ในทิศทาง  $[110]$  โดย  $\vec{b} = \frac{1}{2}[10-1]$  ทำให้เกิดการเลื่อนในระนาบ  $(1-11)$  เกิด down-step และ  $\vec{b} = \frac{1}{2}[0-11]$  ทำให้เกิดการเลื่อนในระนาบ  $(-111)$  เกิด up-step [57]



รูปที่ 2.13 ขั้นตอนการเกิด surface step elimination โดยเรียงจาก ก) ขณะเริ่มเกิด surface step ขึ้นจาก dislocation ข) ลักษณะของชั้นฟิล์มเมื่อเกิดการเลื่อนของผลึกจาก dislocation ค) ลักษณะการก่อตัวของชั้นฟิล์มจากการเลือกเก็บบริเวณขอบของ step ก่อนบริเวณอื่น จนเกิดการหล่นลงมาของชั้นผลึก เมื่อมีความหนามากพอ ง) ผิวนานูปแบบของลายตารางที่สมบูรณ์โดยพื้นผิวมีความโค้งและเรียบ [56]

### 2.3.3.2.3 การปรับปรุงลายตารางของโครงสร้าง $In_{0.15}Ga_{0.85}As/GaAs$ โดยการใช้ GaAs Spacer layer

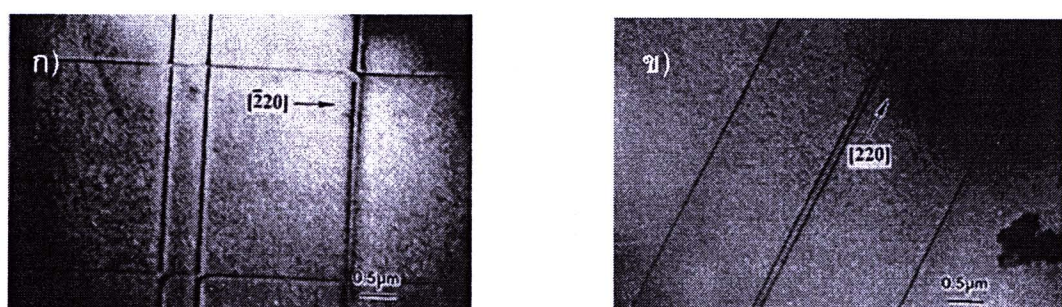
การจัดเรียงความตั้มดอตโดยใช้ลวดลายตารางบนโครงสร้าง  $InGaAs/GaAs$  ทำให้เกิดการจัดเรียงตัวของความตั้มดอตขึ้นจริง แต่มีปัญหาในเรื่องของคุณภาพของชิ้นงาน เช่น ด้านการเปล่งแสง



รูปที่ 2.14 แสดง ก) ลักษณะของโครงสร้าง GaAs/In<sub>0.15</sub>Ga<sub>0.85</sub>As/GaAs ซึ่งมีลักษณะคล้ายบ่อความตื้นแคบๆ ข) แสดงลักษณะการถูกบีบบังคับจาก GaAs ทั้งสองด้านของชั้น InGaAs เนื่องจากความไม่เข้ากันของโครงผลึก

หรือการนำไฟฟ้า เป็นต้น เนื่องจากลายตารางที่เกิดขึ้นเป็นผลจาก dislocation โดยตรง จึงเป็นการยากที่จะหลีกเลี่ยงผลกระทบจากดังกล่าว ในหัวข้อนี้จึงนำเสนอวิธีหนึ่งที่สามารถใช้เพื่อลดผลกระทบของ dislocation ในโครงสร้างลายตาราง InGaAs/GaAs

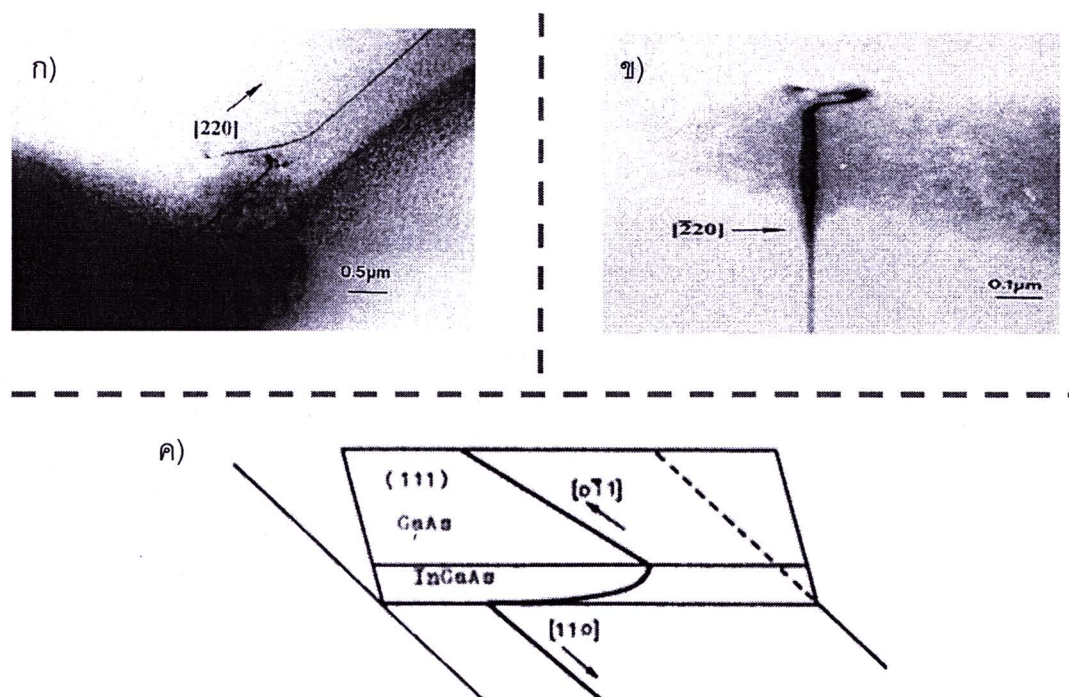
การกลบทับด้วยชั้นของ GaAs หรือการเพิ่มชั้น GaAs spacer บนชั้นของโครงสร้าง InGaAs/GaAs เป็นอีกวิธีหนึ่งที่ใช้ลดผลของ dislocation ที่เกิดขึ้น การกลบทับด้วย GaAs ที่มีความหนาอย่างเหมาะสมทำให้เกิดโครงสร้างที่มีการบีบเดินทั้งสองด้านในลักษณะคล้ายบ่อ (well) ดังแสดงในรูปที่ 2.14 ถึงแม้การปลูกชั้น InGaAs ที่มีความหนาพอเหมาะสมจะทำให้เกิดการผ่อนคลายความเครียดบางส่วนและก่อให้เกิด dislocation ขึ้นก็ตาม แต่แนวของ threading dislocation จะถูกบังคับให้วิ่งออกจากแนวเดิมหรือหยุดนิ่งในชั้นความเครียดขณะทำการกลบทับ โดยมีเพียงบางส่วนเท่านั้นที่ผ่านเข้าไปยังด้านบน ดังแสดงในรูปที่ เป็นภาพ TEM ของกลุ่ม Z.G.Wang [58] ของโครงสร้าง In<sub>0.3</sub>Ga<sub>0.7</sub>As/GaAs ที่มีการกลบทับด้วย GaAs หนา 10 และ 100 nm จะเห็นได้ว่าแนวของ dislocation ลดลงในหนึ่งแนวเมื่อมีการกลบทับด้วย GaAs ที่หนา



รูปที่ 2.15 ภาพ bright-field พร้อมกับลูกศรปั๊กทิศทางตามระนาบของชั้นงานที่ถูกตัดขวาง โดยภาพประกอบด้วย GaAs/In<sub>0.3</sub>Ga<sub>0.7</sub>As/GaAs ที่มีชั้นกลบทับ GaAs ที่มีความหนา ก) 10 nm และ ข) 100 nm [58]

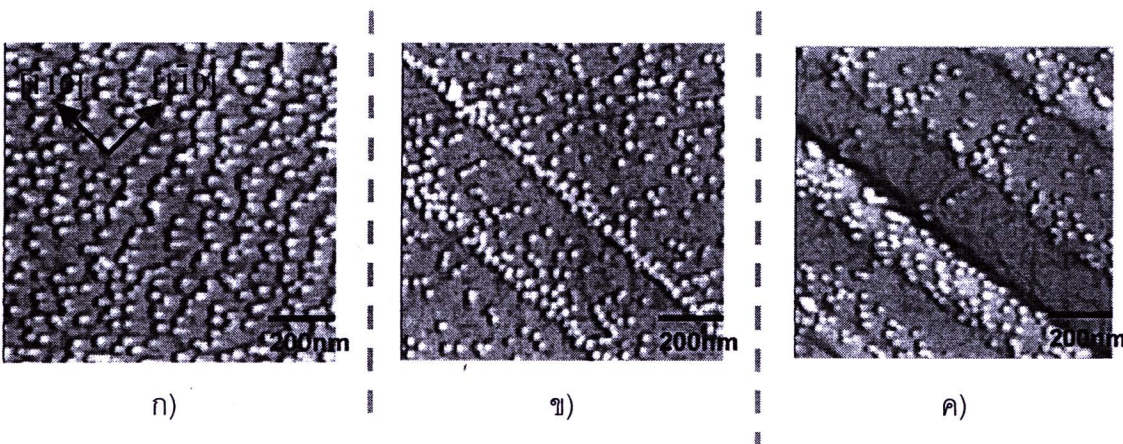
กลไกการลดลงของแนว dislocation สามารถอธิบายจากการศึกษาภาพตัดขวาง Tunneling Electron Microscope (TEM) ของโครงสร้างซึ่งแสดงให้เห็นถึงการแตกออก (breaking up) ของแนว dislocation เมื่อมีความหนาของ GaAs spacer เพิ่มมากขึ้น แนวของ dislocation เดิมจะถูกทำให้แตกออกเกิดปลาย 2 ชั้ง ปลายข้างหนึ่งในลักษณะเส้นซิกแซก (zigzag) และปลายข้างหนึ่งในลักษณะเส้นโค้งที่มีการเคลื่อนที่ออกไปจากแนวเดิม แสดงในรูปที่ 2.16 ก) ส่วนที่เคลื่อนที่ของแนว dislocation เมื่อเคลื่อนที่ต่อไปจะถูกตีริงให้หยุดนิ่งอีกครั้งในบางตำแหน่งของชั้นงานโดยเฉพาะในทิศทาง [110] ซึ่งปรากฏให้เห็นในลักษณะของเส้นซิกแซกเช่นกันแต่ไม่ปรากฏส่วนที่เคลื่อนที่ต่อไปดังรูปที่ 2.16 ข) ลักษณะการเคลื่อนที่ของเส้นซิกแซกเป็นไปตามรูปที่ 2.16 ค) แบ่งเป็นการเคลื่อนที่ 2 ช่วง คือในเนื้อสาร InGaAs และ GaAs spacer การเคลื่อนที่ของเส้น dislocation ยังคงอยู่ในระนาบ (111) แต่เปลี่ยนทิศทางการเคลื่อนที่จากลักษณะ curve dislocation ในทิศ [-110] ในชั้นสาร InGaAs ไปเป็น threading dislocation ในทิศ [01-1] ณ บริเวณรอยต่อชั้นสารทั้งสอง ผ่านเข้าไปยังชั้น GaAs spacer

จากผลของแนว dislocation ที่ลดลงในระบบทำให้คุณภาพของชั้นงานมีค่าสูงขึ้น ซึ่งมีรายงานแสดงให้เห็นจริงว่า การกลบทับด้วย GaAs ที่เหมาะสม ช่วยปรับปรุงคุณภาพหลัก (crystalline quality) ของระบบ ซึ่งแสดงออกในรูปคุณภาพแสงที่ดีขึ้นใน InGaAs/GaAs single quantum well เมื่อกลบทับด้วย GaAs ที่มีความหนาเหมาะสม [59]



รูปที่ 2.16 ภาพ TEM แสดง ก) การแตกออกของ dislocation ในทิศทาง [-110] ข) ลักษณะของเส้นซิกแซกที่เกิดขึ้นขณะกลบทับด้วยชั้น GaAs ที่มีความหนา 100 nm ค) ลักษณะการจัดเรียงของเส้นซิกแซก [58]

นอกจากนี้ความสามารถในการลดแนวของ dislocation ลงในหนึ่งทิศทางของชั้น GaAs Spacer ยังมีความเป็นไปได้ที่ทำแม่พิมพ์สำหรับการเรียงความตั้มดอตในแนวเดียว ตัวอย่างเช่นในกลุ่มของ Kwang Moo Kim [60] ที่มีการปลูกชั้น GaAs spacer บนโครงสร้าง (InAs/GaAs Superlattice (SL)) /GaAs ซึ่งเป็นโครงสร้างเครียดรูปแบบหนึ่ง ดังปรากฏในรูปที่ 2.17 เมื่อจำนวน cycle ของชั้น SL มีค่าน้อย (10 cycles) (รูปที่ 2.17 ก) ซึ่งหมายถึง ค่าความหนาของชั้นความเครียดังไม่เลยค่าความหนาวิกฤติ แนวของ dislocation จึงยังไม่ปรากฏให้เห็น การก่อตัวของความตั้มดอตจึงเป็นแบบสุ่ม ไม่เป็นระเบียบ แต่เมื่อจำนวนของชั้น SL เพิ่มมากขึ้น (15 cycles) ดังเช่นในรูปที่ 2.17 ข) ค่าความหนาจะมีค่าเกินค่าความหนาวิกฤติ แนวของ dislocation เริ่มปรากฏให้เห็นเพียงบางส่วนเนื่องจากการผ่อนคลายเพียงบางส่วนของโครงสร้าง ความตั้มดอตจะมีความเป็นระเบียบมากขึ้นเนื่องจากมีแนวของ dislocation เป็นแม่พิมพ์ในการก่อตัว ซึ่งบริเวณดังกล่าวเป็นบริเวณที่มีพลังงานต่ำและเหมาะสมแก่การก่อตัวของความตั้มดอต โดยแนวของความตั้มดอตจะเรียงตัวในทิศทาง [110] มากกว่าในทิศทาง [1-10] เนื่องจากความหนาแน่นแนวของเนินในแนว [110] มากกว่า [1-10] และสำหรับกรณีของความหนามากกว่าค่าความหนาวิกฤติประมาณ 3 เท่า (30 cycles) แนวของเนินที่มีความหนาจะปรากฏให้เห็นบริเวณผิวน้ำและความตั้มดอตจะก่อตัวบริเวณแนวเนิน เหล่านี้ ดังแสดงในรูปที่ 2.17 ค) ซึ่งหากพิจารณาในรูปที่ 2.17 ข) และ รูปที่ 2.17 ค) แนวการเรียงตัวของความตั้มดอตจะเรียงตัวอย่างชัดเจนในแนว [110] และ [1-10] เท่านั้น จากผลการทดลองจึงเห็นได้ว่า ถ้าความหนาของชั้น GaAs spacer ที่เหมาะสมรวมกับชั้นความเครียดที่มีความหนาพอเหมาะสมมีโอกาสทำให้เกิดความตั้มดอตที่มีการเรียงตัวแบบเส้นในแนวเดียว รูปแบบการจัดเรียงตัวใหม่ดังกล่าวจะถูกศึกษาเข่นกันในวิทยานิพนธ์ฉบับนี้



รูปที่ 2.17 ลักษณะของผิวน้ำเมื่อทำการปลูก InAs QDs บนชั้นความเครียด เมื่อมีจำนวนของชั้น SL

ก) 10 nm ข) 15 nm และ ค) 30 nm [60]